

三和測量建設株式会社 正会員 本多秀夫  
福井市區画整理事務所 山田 茂

1. 目的：軟弱地盤の変形解析を行なう際に、最も困難な問題は、土質パラメーターの決定である。太田らは、関口・太田モデルを利用するための、簡便で、実用的な土質パラメーターの決定法を提案している。ここでは、著者らが実施した、軟弱地盤上の試験盛土の動態観測結果に、太田らの土質パラメーター決定法を適用し、その妥当性を検討した結果を報告する。

2、試験盛土工事の概要：盛土地点は、福井市西部の2つの河川に狭まれた、後背湿地水田である。試験盛土は、2ケース実施した。盛土の形状寸法、変形の観測に用いた計器の設置は、それぞれ図-1、図-2に示す。この地点での土質試験結果を、図-3に示すが、粘性土と砂質土の互層が、GL-3.0m付近まで続き、それ以深で、N値50以上の砂れき層が確認されている。

3、解析方法と土質パラメーターの決定：解析には、関口の開発した、多次元圧密変形解析用プログラムを利用した。このプログラムの特徴は、構成式として関口モデルを用い、ダルシー則で間隙水の連続性を表現したことである。基礎地盤と盛土は図-4に示す有限要素で離散近似した。土質パラメーターは、太田らに従い図-5に示すフローチャートに基づいて決定した。この図は、構成式に用いる多くの土質パラメーターを、基本的には、塑性指数と圧縮指數の2つの量で決定するものである。盛土は転圧が不充分であることから、単に荷重として扱い、剛性は無視した。

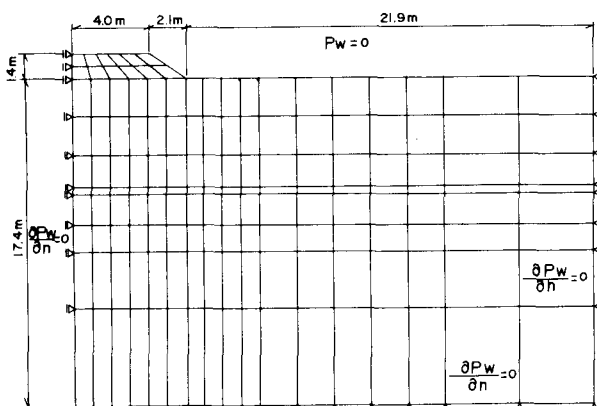
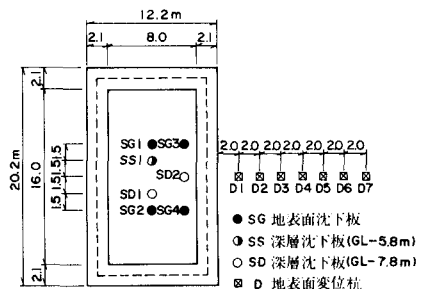
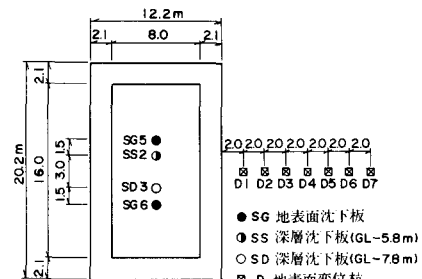


図-4) 盛土-基礎地盤係に対する有限要素近似



（図-1）試験盛土と計器設置位置（矢=3.1）



#### 〔図-2〕試験盛土と計器設置位置(矢=3.2)

	Wn(%)	e <sub>o</sub>	Pt(t/m)	剪力分布	I <sub>P</sub>	C <sub>c</sub>
50 100	1.0 2.0	1.0 2.0	0.5 1.0	2.0 4.0	0.5 1.0	
5 深さ (m)	● ●	●	●	●	●	●
10	●	●	●	●	●	●

（図-3）試験盛土地点の土質調査結果

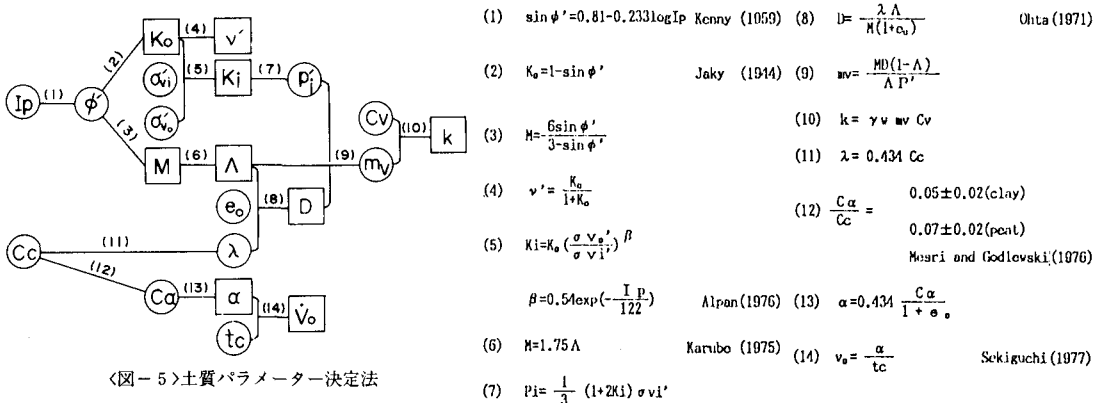


図-5 土質パラメーター決定法

#### 4. 計算値と観測値の比較

地表面沈下量：図-6、図-7は、2つのケースについて、載荷重一時間一沈下量関係を示す。両ケースとも、盛土初期に計算沈下量がやや大きくなることを除いて、計算値と観測値がよく一致している。また両ケースとも、ほぼ静止状態にあった沈下が、経過時間200日前後に少し進行している。これは、この時期から始まった積雪（約1.2m）によるものと考える。

側方地盤の変形：図-8に、ケース2の変位杭D2設置位置での計算変位と観測変位を示す。この図から、盛土載荷時期の挙動は、計算値と観測値がかなりよく一致するが、圧密段階で、鉛直変位に差が生じていることが判る。

5. 結論：太田らによる簡便で、実用的な土質パラメーター決定法を用いて、計算値と観測値が、比較的よく一致する結果を得た。よって図-5に示す土質パラメーター決定法は、かなり適切なものであり、実用性も高いと判断される。御指導を頂いた、金沢大学太田秀樹助教授、京都大学関口秀雄助教授、福井大学荒井克彦助教授に、深く感謝の意を表します。

#### 参考文献

- 1) 飯塚・太田, 1984, 土木学会第39回年次学術講演会概要集, P.863~866
- 2) H.Sekiguchi・H.Ohta , 1977 , Proc.9th ICSMFE , vol.1 , P.229~238
- 3) H.Sekiguchi , 1977 , Proc.9th ICSMFE , vol.1 , P.289~292
- 4) 柴田・関口, 1980, 土木学会論文集, 第301号, P.93~104
- 5) 関口・柴田, 1982, 土と基礎, No.1301, P.47~54

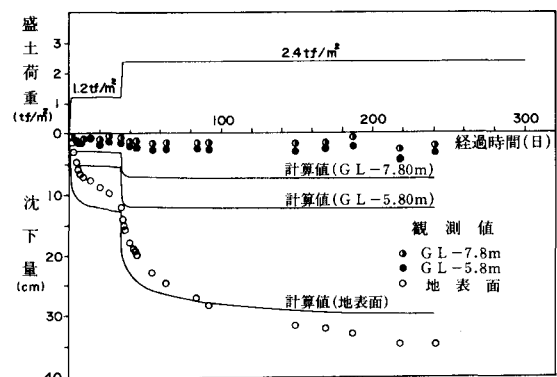


図-6 盛土中心における時間～沈下量関係(ケース1)

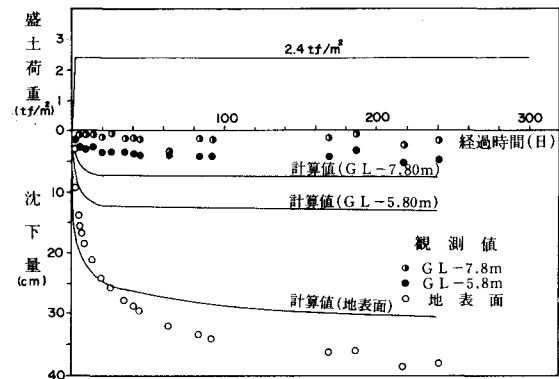


図-7 盛土中心における時間～沈下量関係(ケース2)

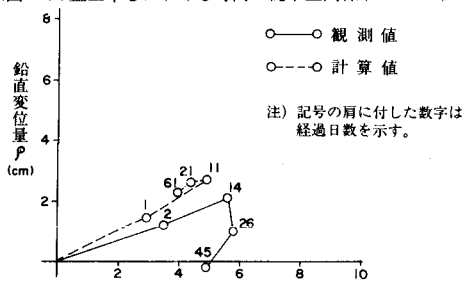


図-8 ケース2 变位杭2の变位